

РОССИЙСКАЯ АКАДЕМИЯ НАУК

СИБИРСКОЕ ОТДЕЛЕНИЕ

А В Т О М Е Т Р И Я

---

2004, том 40, № 3

УДК 535 : 241.13

С. В. Богданов

(Новосибирск)

**К ВОПРОСУ О ДИФРАКЦИИ СВЕТА НА УЛЬТРАЗВУКЕ**

Рассмотрена дифракция света на ультразвуке в режимах Рамана – Ната и Брэгга с позиций выполнения закона сохранения импульса. Показано, что используемое обычно приближение плоских звуковых волн при дифракции Рамана – Ната ведет к нарушению этого закона и ошибке в определении углов дифракции.

**Введение.** Дифракция света на ультразвуке, предсказанная в 1921 г. Бриллюэном, в настоящее время изучена весьма обстоятельно. Этому явлению посвящены подробные обзоры [1, 2], монография [3], главы фундаментальных трудов [4–7] и большое число других работ.

Дифракция света на ультразвуке имеет два предельных случая:

а) дифракцию Рамана – Ната (далее Р–Н), имеющую место обычно при нормальном (или близком к нормальному) падении света на узкий звуковой пучок, и при этом наблюдается значительное число дифракционных максимумов как положительных, так и отрицательных порядков;

б) дифракцию Брэгга, имеющую место при падении света под определенным углом (угол Брэгга) на широкий звуковой пучок, и при этом есть лишь один дифракционный максимум либо +1-го, либо –1-го порядка (в зависимости от геометрии эксперимента).

Между этими двумя предельными случаями имеет место широкая промежуточная область.

В данной работе рассматривается первый случай – дифракция Р–Н. Причем речь пойдет не о математическом описании процесса дифракции, а лишь об угловом распределении дифракционных порядков.

Цель работы состоит в том, чтобы обратить внимание читателей на известное определение углового распределения дифракционных максимумов при дифракции Р–Н:  $\sin\psi_m = m \sin\psi = m2 \sin\theta$ , которое является неверным. Его следует заменить определением  $\phi_m = m\varphi = m\theta$ .

1. Обычный подход к решению задачи дифракции света на ультразвуке сводится к рассмотрению распространения электромагнитной волны в среде, диэлектрическая проницаемость которой возмущена распространяющейся в ней звуковой волной. При этом обычно считается, что звуковая волна плоская и характеризуется волновым вектором  $\mathbf{K}$ . Среда, где происходит взаимодействие света и звука, считается изотропной.

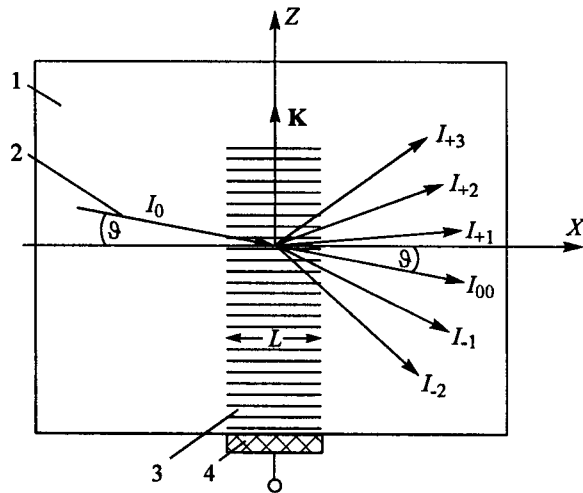


Рис. 1. Геометрия акустооптического взаимодействия: 1 – акустооптическая среда; 2 – падающий свет,  $\theta$  – угол падения; 3 – плоская звуковая волна,  $\mathbf{K} = \mathbf{K}_z$  – ее волновой вектор; 4 – источник звука,  $L$  – ширина звукового пучка (длина взаимодействия),  $I_m$  – дифракционные порядки

Рассматриваемая геометрия в терминах лучевой оптики представлена на рис. 1. В направлении  $X$  звуковой пучок ограничен размером  $L$  (длина взаимодействия). Область взаимодействия по осям  $X$  и  $Y$  не ограничена. Все используемые здесь параметры (углы, волновые векторы, длины волн) приведены внутри акустооптической среды.

В результате взаимодействия имеют место:

- 1) луч, прошедший без дифракции (0-й порядок дифракции),  $I_{00}$ ;
- 2) лучи, дифрагирующие в различные порядки дифракции,  $I_m$ , где  $m = \pm 1, \pm 2, \pm 3, \dots$

Число наблюдаемых порядков дифракции зависит от ширины области взаимодействия, интенсивности звука и параметров материала.

Расчетным путем находятся углы, под которыми (относительно  $I_{00}$ ) наблюдаются дифракционные максимумы и их интенсивность.

Однако возможен и другой подход. Дифракция света на ультразвуке рассматривается как трехчастичное взаимодействие фонона и фотонов, в результате которого фонон либо поглощается, либо рождается. При таком взаимодействии должны выполняться законы сохранения энергии и импульса [7]. Таким образом,

$$\omega_{+1} = \omega_0 + \Omega, \quad \omega_{-1} = \omega_0 - \Omega,$$

$$\mathbf{k}_{+1} = \mathbf{k}_0 + \mathbf{K}, \quad \mathbf{k}_{-1} = \mathbf{k}_0 - \mathbf{K}.$$

Здесь  $\omega_0$ ,  $\mathbf{k}_0$  – частота и волновой вектор падающего фотона;  $\Omega$ ,  $\mathbf{K}$  – частота и волновой вектор взаимодействующего фонона;  $\omega_{+1}$ ,  $\mathbf{k}_{+1}$  – частота и волновой вектор фотона, дифрагировавшего в +1-порядок (с поглощением фонона);  $\omega_{-1}$ ,  $\mathbf{k}_{-1}$  – частота и волновой вектор фотона, дифрагировавшего в -1-й порядок (с испусканием фонона).

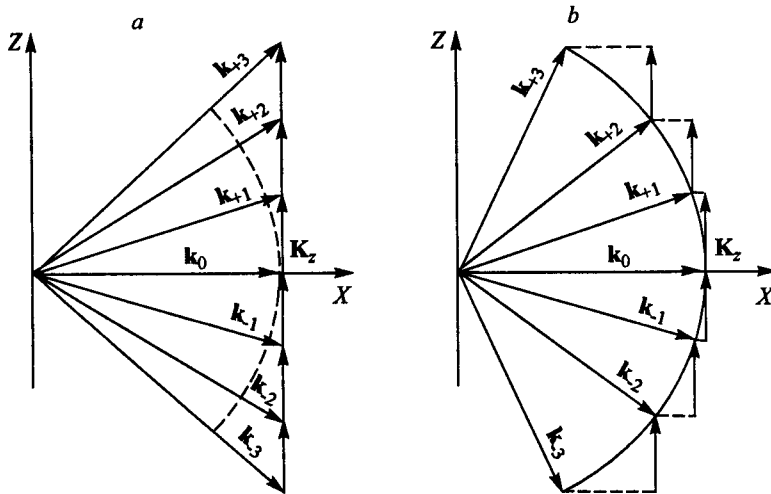


Рис. 2. Геометрия волновых векторов света и звука: по Раману – Нату (a), по [3] (b)

Более высокие порядки дифракции являются следствием ряда последовательных взаимодействий. Например, при +2-м порядке дифракции имеют место соотношения

$$\omega_{+2} = \omega_{+1} + \Omega = \omega_0 + 2\Omega, \quad \mathbf{k}_{+2} = \mathbf{k}_{+1} + \mathbf{K} \text{ и т. д.}$$

Закон сохранения импульса при трехчастичном взаимодействии выполняется всегда, поскольку отсутствуют силы, ограничивающие рождение или поглощение фонона.

Описанный квантово-механический подход обычно используется только для определения геометрии электрон-фононного взаимодействия в анизотропных средах, т. е. для определения углов падения, углов дифракции и направления распространения звука, когда возможна дифракция с изменением поляризации света, а скорость света зависит от его поляризации и направления распространения. Естественно, этот подход вполне применим и в случае изотропной среды взаимодействия, когда скорость света не зависит ни от поляризации света, ни от направления его распространения.

2. Обратимся к классическому рассмотрению дифракции света на ультразвуке в изотропной среде (см. рис. 1). Имея в виду дифракцию Р–Н, далее будем полагать, что свет падает на звуковой пучок нормально ( $\vartheta = 0$ ). Из работ, в которых Раман и Нат первыми (при ряде допущений) объяснили одновременное появление дифракционных максимумов многих порядков и рассчитали их интенсивность, вытекает, что диаграмма волновых векторов в этом случае имеет вид, представленный на рис. 2, a. (Звуковая волна считается плоской, и ее волновой вектор  $\mathbf{K} = \mathbf{K}_z$ .) Из рисунка видно, что  $|\mathbf{k}_m| \neq |\mathbf{k}_0|$ , как должно быть в изотропной среде, если пренебречь исчезающими изменениями длины волны света вследствие изменения его частоты согласно равенству

$$\omega_m = \omega_0 (1 \pm m\Omega/\omega_0), \quad \Omega/\omega_0 \cong 10^{-5} - 10^{-6}.$$

Чтобы исключить эту погрешность, в работе [3] принято  $|\mathbf{k}_m| = |\mathbf{k}_0|$ . Но поскольку полагается, что у звуковой волны  $\mathbf{K} = \mathbf{K}_z$ , то треугольник волновых векторов  $\mathbf{k}_0, \mathbf{k}_m, \mathbf{K}_z$  оказывается незамкнутым. Принятая в [3] диаграмма волновых векторов ( $\vartheta = 0$ ) представлена на рис. 2, б. Как видно, закон сохранения импульса в этом случае не выполняется: «... взаимодействие не ограничено в направлении осей  $Y$  и  $Z$ . Поэтому проекции импульса (волнового вектора) на оси  $Y$  и  $Z$  должны удовлетворять закону сохранения импульса:

$$k_{my} = k_{0y} = 0, \quad k_{mz} = k_0 \sin \vartheta + mK.$$

Проекция волнового вектора  $\mathbf{k}_0$  на ось  $X$  может иметь скачок тем больший, чем меньше длина области взаимодействия света и звука  $L$ » (см. [3, с. 36]). (Здесь  $m$  – порядок дифракции, принятый в данной работе, вместо индекса  $p$  работы [3].) Таким образом, проекция волнового вектора  $\mathbf{k}_0$  на ось  $X$  не подчиняется закону сохранения импульса.

Из приведенного выражения для  $k_{mz}$  непосредственно вытекают угловые направления на дифракционные максимумы:  $\sin \psi_m = \sin \vartheta + mK/k_0$ . При нормальном падении света  $\vartheta = 0$  и

$$\sin \psi_m = mK/k_0 = m \sin \psi = m\lambda/\Lambda = m2 \sin \theta, \quad (1)$$

где  $\lambda$  – длина волны света;  $\Lambda$  – длина волны звука;  $\theta$  – угол Брэгга.

Соотношения (1) используются во всех работах, посвященных дифракции света на ультразвуке (см., например, [3–6] и др.). Это следствие допущения, что звуковая волна является плоской и характеризуется волновым вектором  $\mathbf{K} = \mathbf{K}_z$ .

3. Итак, приближение плоских волн, используемое при классическом рассмотрении задачи, приводит к необходимости отказаться от закона сохранения импульса. Однако при взаимодействии фотона и фонона закон сохранения импульса должен удовлетворяться всегда. Поэтому следует найти причину, которая в рамках этого закона позволит при дифракции Р–Н объяснить появление ряда дифракционных порядков. Такая причина достаточно очевидна.

Следует обратить внимание на то, что классическое рассмотрение задачи проводится при допущении, что в зоне акустооптического взаимодействия, ограниченной вдоль оси  $X$  длиной  $L$  и не ограниченной вдоль двух других осей (см. рис. 1), распространяются плоские электромагнитная и звуковая волны. Такая постановка задачи с самого начала несет в себе некоторое противоречие. Действительно, если это допущение вполне приемлемо для электромагнитной волны, поскольку размеры вдоль осей  $Y$  и  $Z$  не ограничены, а  $\lambda$  мала по сравнению с реально действующей апертурой, то для звуковой волны это далеко не так. Апертура звукового поля по оси  $X$  ограничена длиной взаимодействия  $L$ , а длина волны звука  $\Lambda \gg \lambda$ . В то же время хорошо известно, что ограничение апертуры излучателя приводит к расширению его диаграммы направленности: излучаемая волна перестает быть плоской, и появляется целый набор волн той же частоты, волновые векторы которых  $\mathbf{K}_\alpha$  отклоняются от оси системы (ось  $Z$ ) на угол  $\alpha$ . В изотропной среде, которая рассматривается, все волновые векторы имеют одинаковый модуль  $|\mathbf{K}_\alpha| = |\mathbf{K}| = K$ . Амплитуды этих волн зависят от угла  $\alpha$ :

$$A_\alpha = A_0 \sin \Phi / \Phi,$$

где  $\Phi = 0,5KL\sin\alpha = \pi(L/\Lambda)\sin\alpha$ . Таким образом,  $A_\alpha$  максимальна при  $\alpha = 0$  и уменьшается по мере увеличения  $\alpha$ .  $A_\alpha$  первый раз обращается в нуль при  $\Phi = \pi$ , т. е. при  $\sin\alpha_0 = \Lambda/L$ . Примем угол  $\alpha_0$  за угол расхождения звукового потока вследствие ограничения апертуры излучения размером  $L$ . Следовательно, при ограниченном излучателе вместо одного волнового вектора  $\mathbf{K} = \mathbf{K}_z$  теперь в пределах сектора с углом раствора  $2\alpha_0$  существует непрерывный набор волновых векторов  $\mathbf{K}_\alpha$  с модулем  $|\mathbf{K}_\alpha| = |\mathbf{K}| = \text{const}$ . При уменьшении длины взаимодействия  $L$  угол  $\alpha_0$  становится достаточно большим. Поэтому при рассмотрении дифракции Р–Н, когда  $L$  мало, следует иметь в виду наличие волновых векторов звука, у которых  $K_x \neq 0$ . Отметим, что расхождение звука (а в ряде случаев и света) обычно учитывается при описании реальных характеристик акустооптических приборов, использующих дифракцию Брэгга (см., например, [6, с. 338]). Неучет этого явления при рассмотрении дифракции Р–Н связан, видимо, с тем обстоятельством, что сама дифракция Р–Н в отличие от дифракции Брэгга исключительно редко используется на практике.

4. Если акустооптическое взаимодействие рассматривать с позиций взаимодействия фотонов и фононов, когда закон сохранения импульса выполняется всегда, то дифракцию Р–Н следует рассматривать как взаимодействие падающего фотона с импульсом  $\mathbf{k}_0$  с фононом, у которого импульс  $\mathbf{K}_1$  (из сектора  $\mathbf{K}_\alpha$ ) имеет составляющую  $K_x$  такой величины, чтобы треугольник волновых векторов  $\mathbf{k}_0, \mathbf{k}_1, \mathbf{K}_1$  был замкнутым, т. е. чтобы  $\mathbf{k}_{+1} = \mathbf{k}_0 + \mathbf{K}_1$ , если взаимодействие идет с поглощением фонона, или чтобы  $\mathbf{k}_{-1} = \mathbf{k}_0 - \mathbf{K}_1$ , если взаимодействие идет с испусканием фонона. Дифракция во 2-й порядок будет происходить, когда  $\mathbf{k}_{+2} = \mathbf{k}_1 \pm \mathbf{K}_2$ , где  $\mathbf{K}_2$  тоже принадлежит к сектору  $\mathbf{K}_\alpha$ . Если подходящего волнового вектора в секторе  $\mathbf{K}_\alpha$  не найдется, то такая дифракция невозможна.

Диаграмма волновых векторов при дифракции Р–Н для случая поглощения фонона (положительные порядки) приведена на рис. 3. Дифракция с рождением фонона будет расположена симметрично в отрицательном направлении оси  $Z$ .

Из рис. 3 видно, что при нормальном падении света:

- 1) дифракция в 1-й порядок возможна лишь при  $\alpha_0 > \theta$ , где  $\sin\theta = \frac{1}{2}\lambda/\Lambda$ ;
- 2) угол дифракции в 1-й порядок  $\varphi_1 = 2\theta \equiv \varphi$ ;
- 3) угол дифракции в  $m$ -й порядок  $\varphi_m = m\varphi$ ;
- 4) угол между волновыми векторами  $\mathbf{K}_m$  и  $\mathbf{K}_{m+1}$ , осуществляющими дифракцию в соседние порядки, равен углу  $\varphi$ .

Исходя из изложенного, следует считать, что критерием существования дифракции Р–Н является условие  $\alpha_0 > \varphi$  или эквивалентное ему  $\sin\alpha_0 > \sin\varphi$ .

При классическом рассмотрении дифракции на ультразвуке также вводится некий параметр  $Q = K^2 L / 2\pi k_0$  (см., например, [3, с. 44]), определяющий ее характер: при  $Q \ll 1$  осуществляется дифракция Р–Н, при  $Q \gg 1$  – дифракция Брэгга. В [6, с. 332] для этой же цели вводится «критическая» длина взаимодействия  $L_c = \Lambda^2/\lambda$ . Если длина взаимодействия  $L \ll L_c$ , то имеет место дифракция Р–Н, если  $L \gg L_c$ , то дифракция Брэгга.

Легко увидеть, что оба эти критерия совпадают с приведенным выше ( $\alpha_0 > \varphi$  или  $\sin\alpha_0 > \sin\varphi$ ), вытекающим из закона сохранения импульса и

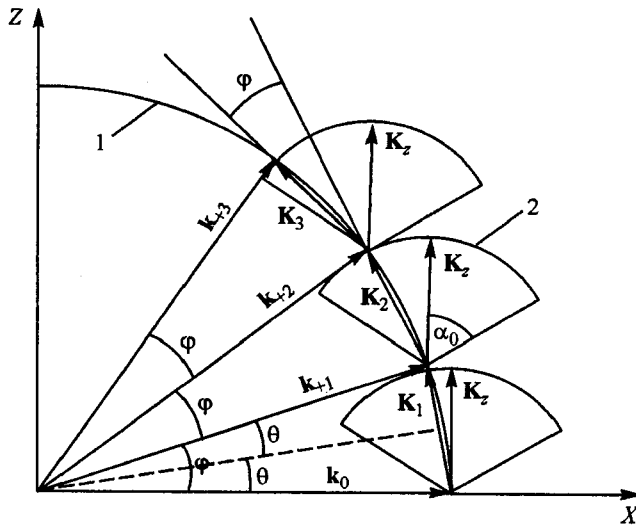


Рис. 3. Диаграмма волновых векторов света и звука при дифракции Р–Н: 1 – геометрическое место концов волновых векторов света, 2 – сектор волновых векторов звука

имеющим наглядный физический смысл. Действительно,

$$Q = K^2 L / 2\pi k_0 = \lambda L / \Lambda^2 = (\lambda / \Lambda) : (\Lambda / L) \approx \sin \varphi / \sin \alpha_0,$$

$$L_c = \Lambda^2 / \lambda, \text{ т.е. } Q_c = \lambda L_c / \Lambda^2 = 1.$$

Отметим, что подобный подход упоминается в работе [2].

5. Разница между углами  $\psi$  и  $\varphi$  весьма невелика. Именно

$$\sin \varphi = \sin 2\theta = 2 \sin \theta \sqrt{1 - \sin^2 \theta},$$

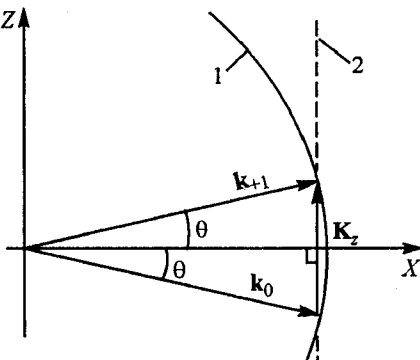
$$\sin \varphi \approx (1 - 0,125 K^2 / k_0^2) \sin \psi.$$

Отсюда видно, что  $\sin \varphi$  незначительно отличается от  $\sin \psi$ . Разница между ними растет с увеличением порядка дифракции, но даже для 3-го порядка она остается ничтожно малой. Тем не менее различие в определении угла дифракции (при дифракции Р–Н)  $\sin \psi_m = m \sin \psi$  или  $\varphi_m = m \varphi$  носит принципиальный характер, поскольку оно возникает из-за различия в начальных физических предпосылках.

6. Рассмотрим теперь дифракцию Брэгга. Она имеет место, когда  $Q \gg 1$ , т. е. когда  $L \gg \Lambda$ . При этом  $\sin \alpha_0 = \Lambda / L \ll 1$  и расходимостью звука можно пренебречь. Таким образом, будем считать, что в этом случае волновой вектор звука  $\mathbf{K} \equiv \mathbf{K}_z$ . На рис. 4 представлена соответствующая диаграмма волновых векторов. Видно, что при нормальном падении света на звуковой пучок ( $\theta = 0$ ) дифракция невозможна: закон сохранения импульса можно удовлетворить лишь в том случае, если свет падает на звуковой пучок под углом  $\theta = \theta_B$ , где  $\theta_B$  – угол Брэгга. Из диаграммы видно, что

$$\sin \theta_B = \frac{1}{2} |\mathbf{K}_z| / |\mathbf{k}_0| = \frac{1}{2} \lambda / \Lambda.$$

*Рис. 4. Диаграмма волновых векторов света и звука при дифракции Брэгга: 1 – геометрическое место концов волновых векторов света, 2 – геометрическое место волновых векторов звука*



Угол дифракции  $\phi = 2\theta$ . Из рис. 4 также следует, что при дифракции Брэгга возможен лишь один порядок дифракции (на рис. 4 изображен +1-й порядок).

Такова картина дифракции Брэгга в идеальном случае. Однако если принять во внимание, что в действительности как звуковой пучок, так и падающий свет немного расходятся, то описанная выше картина дифракции несколько «размазывается».

**Заключение.** Все изложенное выше достаточно хорошо известно. Тем не менее нигде в литературе, за исключением [3], не встречалось указание, что использование модели плоских звуковых волн при рассмотрении дифракции Р-Н ведет к нарушению закона сохранения импульса. Кроме того, использование модели плоских волн приводит одновременно и к неверному определению углов дифракции. В то же время учет расходимости звука (узкий звуковой пучок, т. е.  $L$  сравним с  $\Lambda$ ) обеспечивает выполнение закона сохранения импульса и позволяет найти истинное угловое распределение дифракционных максимумов.

#### СПИСОК ЛИТЕРАТУРЫ

1. Chang I. C. Acoustooptic devices and applications // IEEE Trans. Sonics and Ultrasonics. 1976. SU-23, N 1. P. 1.
2. Гуляев Ю. В., Проклов В. В., Шкердин Н. Г. Дифракция света на звуке в твердых телах // УФН. 1978. 124, № 1. С. 61.
3. Балакший В. И., Парыгин В. Н., Чирков Л. Е. Физические основы акустооптики. М.: Радио и связь, 1985.
4. Борн М., Вольф Э. Основы оптики. М.: Наука, 1970.
5. Мустель Е. Р., Парыгин В. Н. Методы модуляции и сканирования света. М.: Наука, 1970.
6. Дъелесан Э., Руайе Д. Упругие волны в твердых телах. М.: Наука, 1982.
7. Дамон Р., Мэлони В., Мак-Магон Д. Взаимодействие света с ультразвуком: Явление и его применения // Физическая акустика /Под ред. У.Мэзона. М.: Мир, 1974. Т. 7. С. 311.

Институт физики полупроводников СО РАН,  
E-mail: bogd@isp.nsc.ru

Поступила в редакцию  
13 февраля 2004 г.